



Factor de seguridad mediante reducción de parámetros resistentes en el modelo de Hoek-Brown

Osvaldo N. Ledesma, I. García Mendive y A. O. Sfriso
SRK Consulting (Argentina) y Universidad de Buenos Aires

Introducción

srk

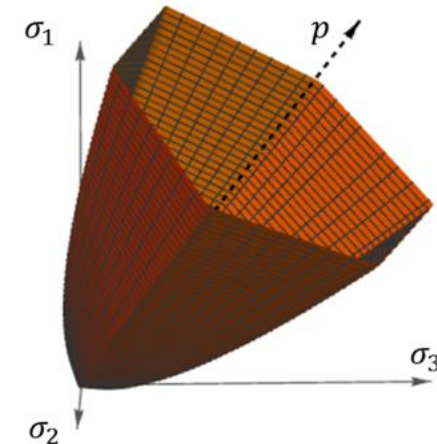


El criterio de Hoek-Brown es el standard de la industria para calcular **factores de seguridad** de taludes y túneles en macizos rocosos

Numerosas implementaciones de H-B como modelo elastoplástico arrojan resultados no comparables

En este trabajo

- Implementación exacta de H-B como M-C con $\phi[\sigma_3]$
- Formulación consistente con técnica de reducción de parámetros resistentes (para cálculo de *FoS*)
- Efecto de la no asociatividad
- Benchmarking





Criterio de falla de Hoek-Brown como Mohr-Coulomb con $\phi[\sigma_3]$

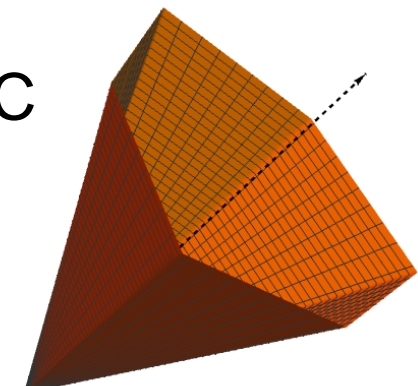
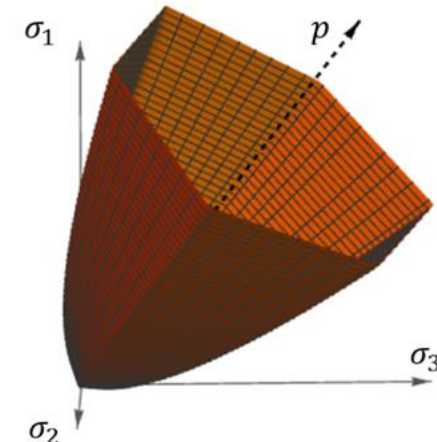
Hoek-Brown (2002)

$$f_{HB} = \sigma_3 - \sigma_1 - \sigma_c \left(s - m \frac{\sigma_3}{\sigma_c} \right)^a = 0$$

Mohr-Coulomb (1776)

$$f_{MC} = \sigma_3 - \sigma_1 + (\sigma_1 + \sigma_3) \cdot \sin[\phi] - 2c \cos[\phi] = 0$$

- Todas las soluciones analíticas emplean M-C
- No tiene “ediciones”
- H-B no es sólo M-C con un generatriz curva
- En esta versión $c_p = \text{const}$ y $\phi[\sigma_3]$

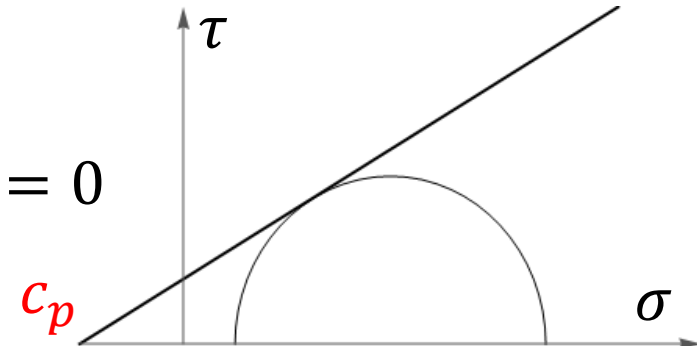


Criterio de falla de Hoek-Brown como Mohr-Coulomb con $\phi[\sigma_3]$

M-C y H-B comparten el vértice

$$f_{MC} = \sigma_3 - \sigma_1 + (\sigma_1 + \sigma_3 - 2c_p) \sin[\phi] = 0$$

$$c_p = \frac{c}{\tan[\phi]}$$

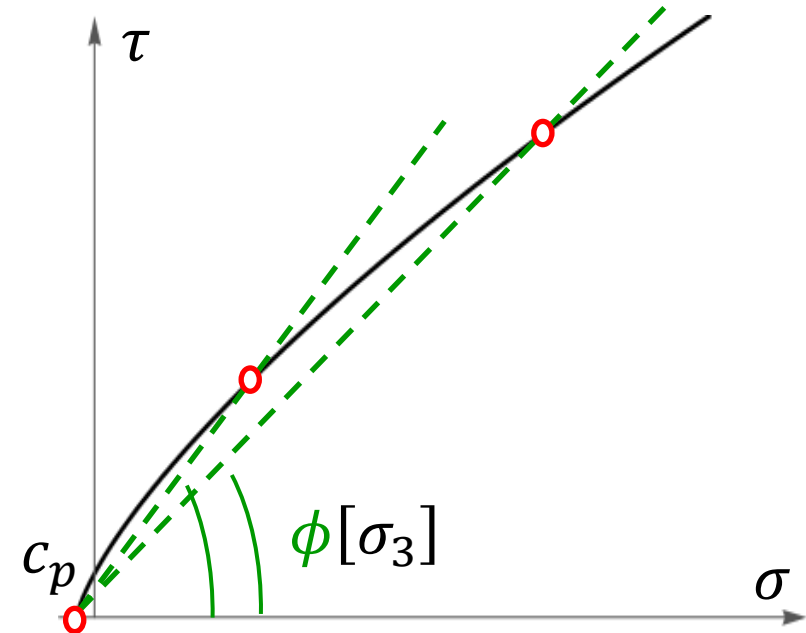


H-B se reescribe como

$$f_{HB} = \sigma_3 - \sigma_1 + (\sigma_1 + \sigma_3 - 2c_p) \sin(\phi[\sigma_3]) = 0$$

$$c_p = \sigma_c \frac{s}{m}$$

$$\sin(\phi[\sigma_3]) = \frac{2}{m} \left(s - \frac{m \sigma_3}{\sigma_c} \right)^{1-a}$$



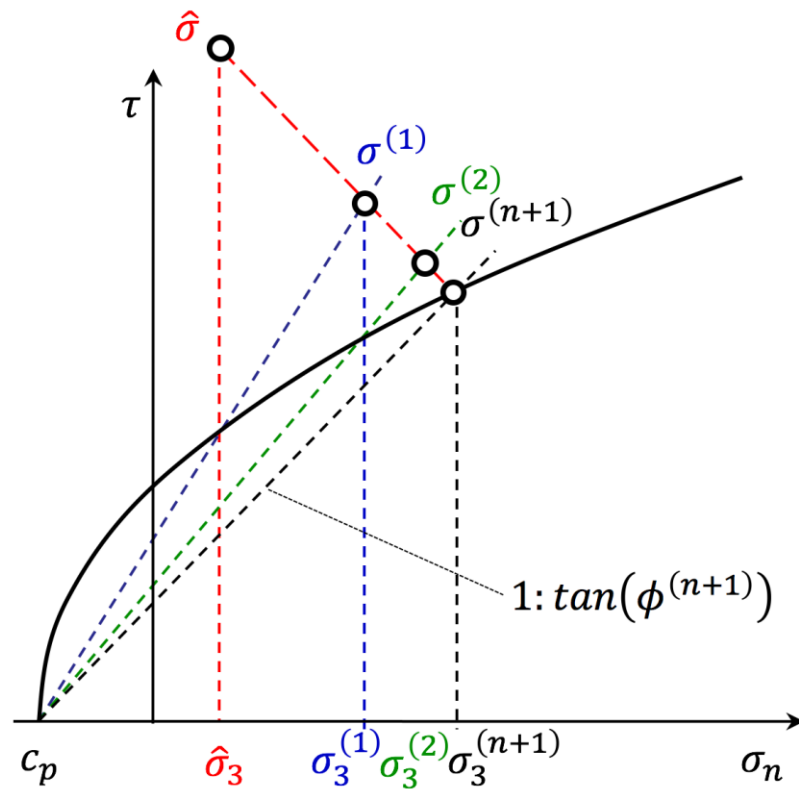
Implementación numérica

srk



Mohr-Coulomb tiene solución analítica

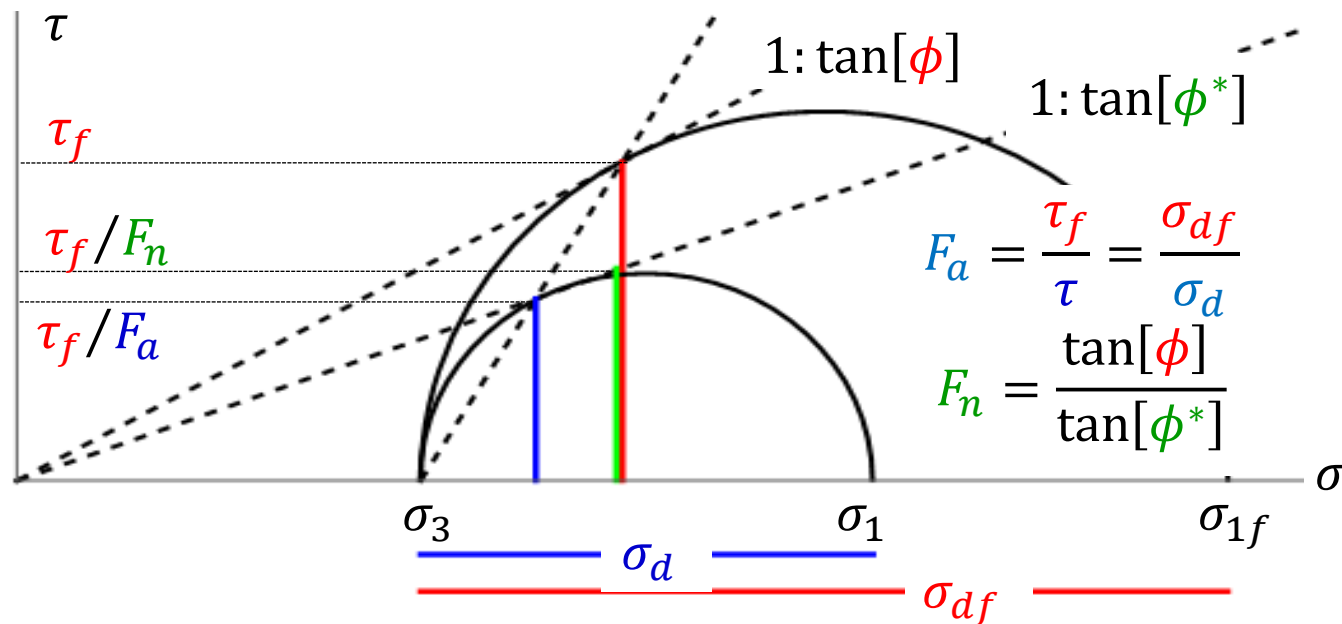
Hoek-Brown: se actualiza $\phi[\sigma_3]$ hasta convergencia



FoS clásico y técnica de reducción de parámetros resistentes

F_a : cociente entre la **resistencia al corte** en el plano de potencial deslizamiento y la **tensión** en ese mismo plano

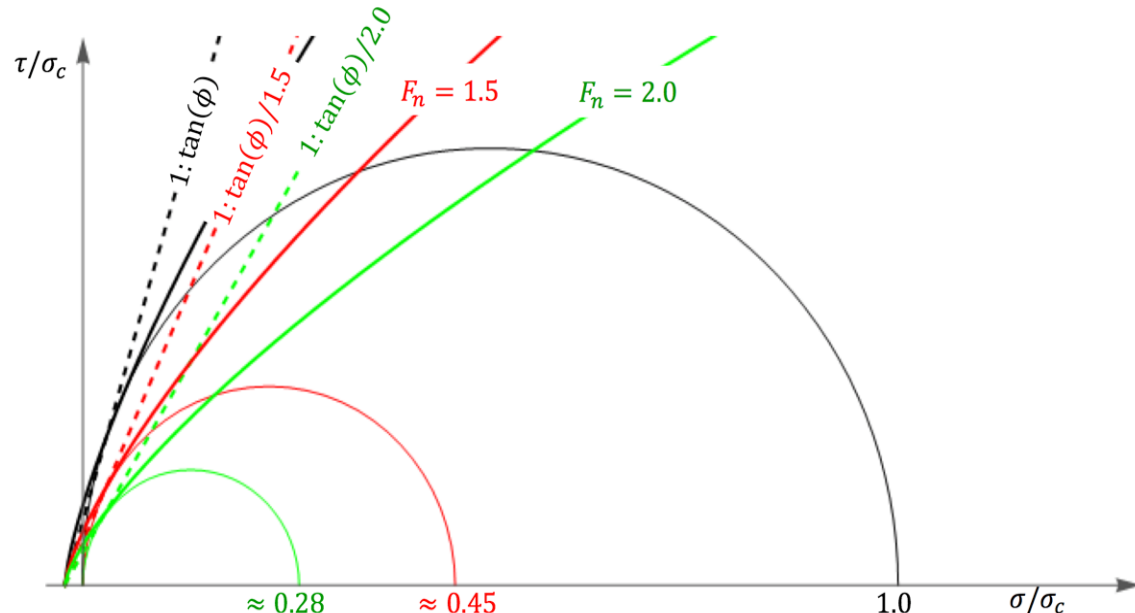
F_n : cociente entre la **tangente del ángulo de fricción interna** y la **tangente del ángulo de fricción mínimo** que soporta la tensión



Reducción de parámetros resistentes en Mohr-Coulomb con $\phi[\sigma_3]$

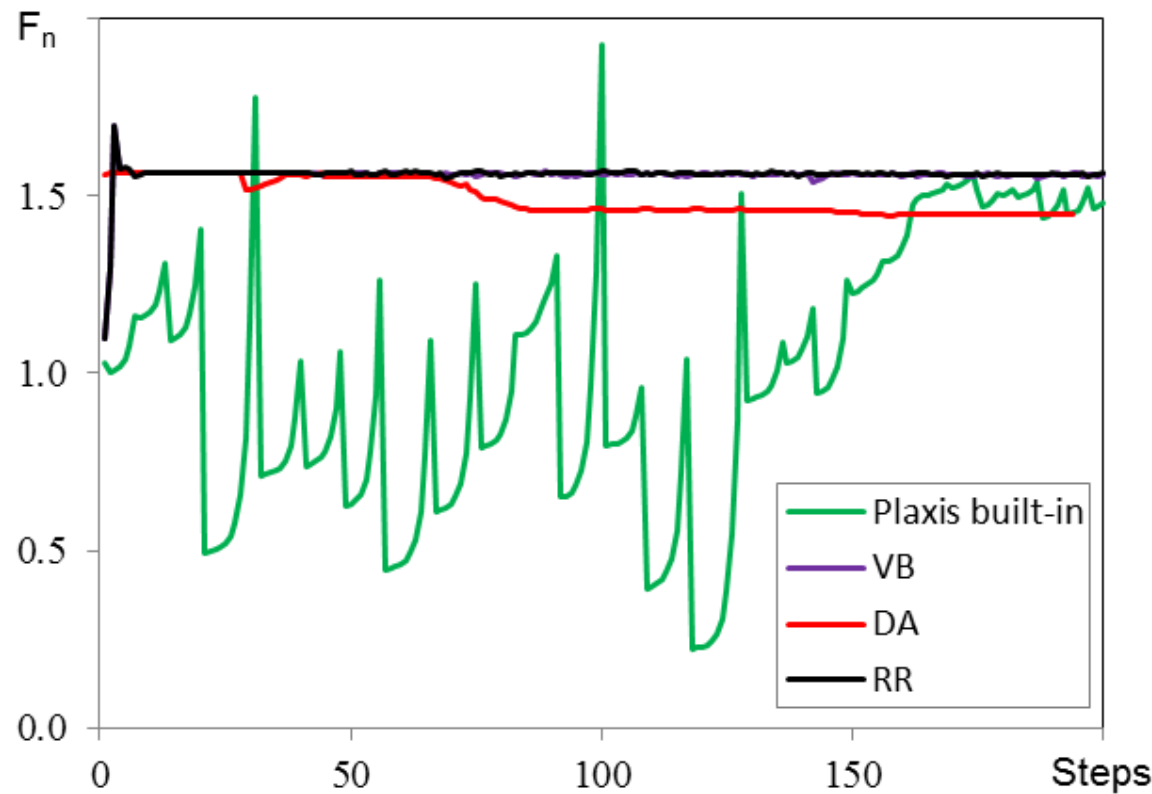
Se resuelve el problema de valores de contorno con
 $f^* = \sigma_3 - \sigma_1 + (\sigma_1 + \sigma_3 - 2c_p) \sin[\phi^*] = 0$

- Cambia la apertura del cono, pero el vértice no se mueve
- Se respeta la definición clásica: $\tan[\phi^*] = \tan[\phi]/F_n$



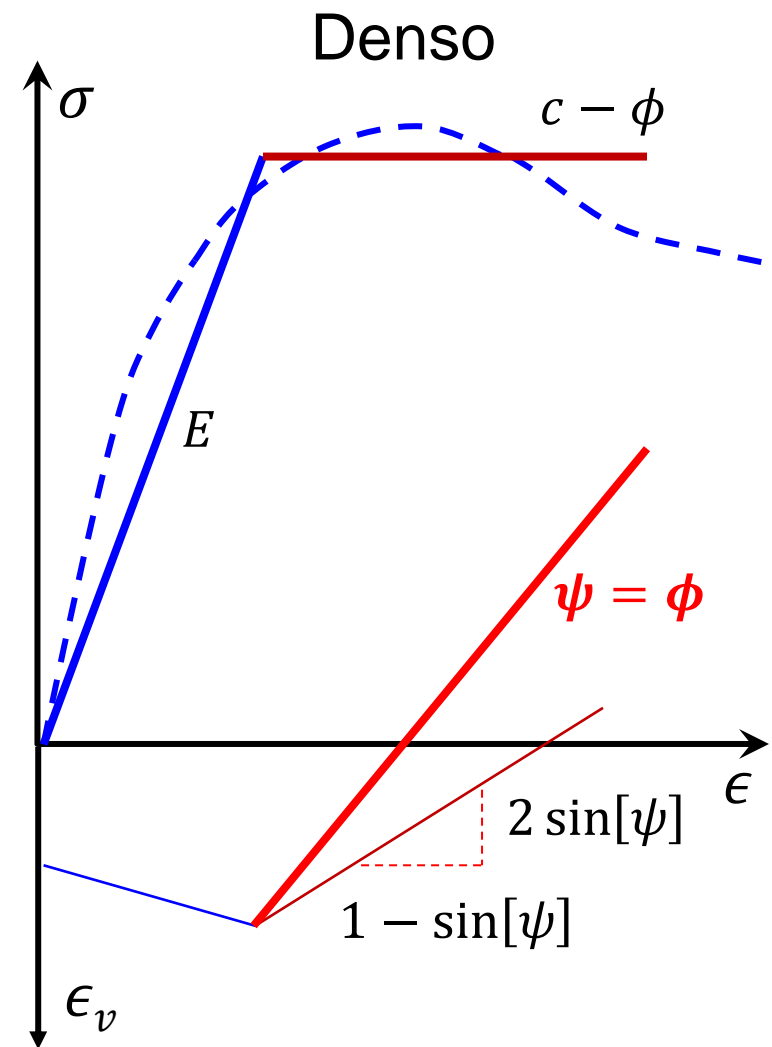
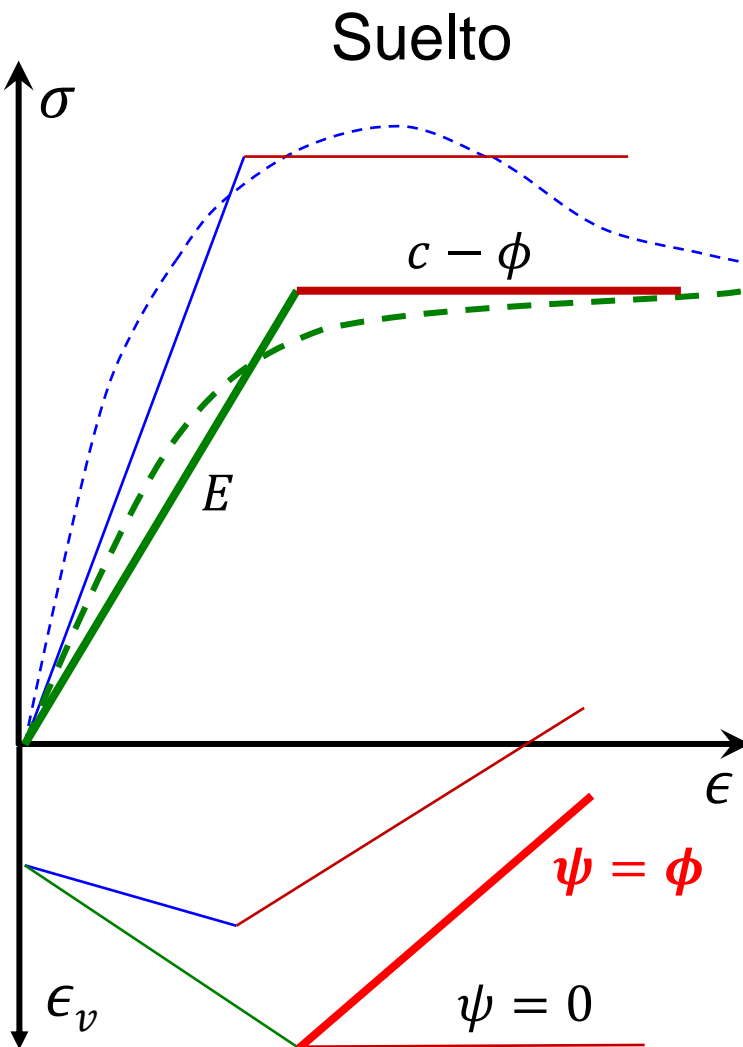
Reducción de parámetros resistentes en Mohr-Coulomb con $\phi[\sigma_3]$

El funcionamiento numérico es claramente superior a la implementación built-in en Plaxis



Plasticidad asociativa ($\psi = \phi$) aumento de volumen no realista

Factor de seguridad para modelo de Hoek-Brown



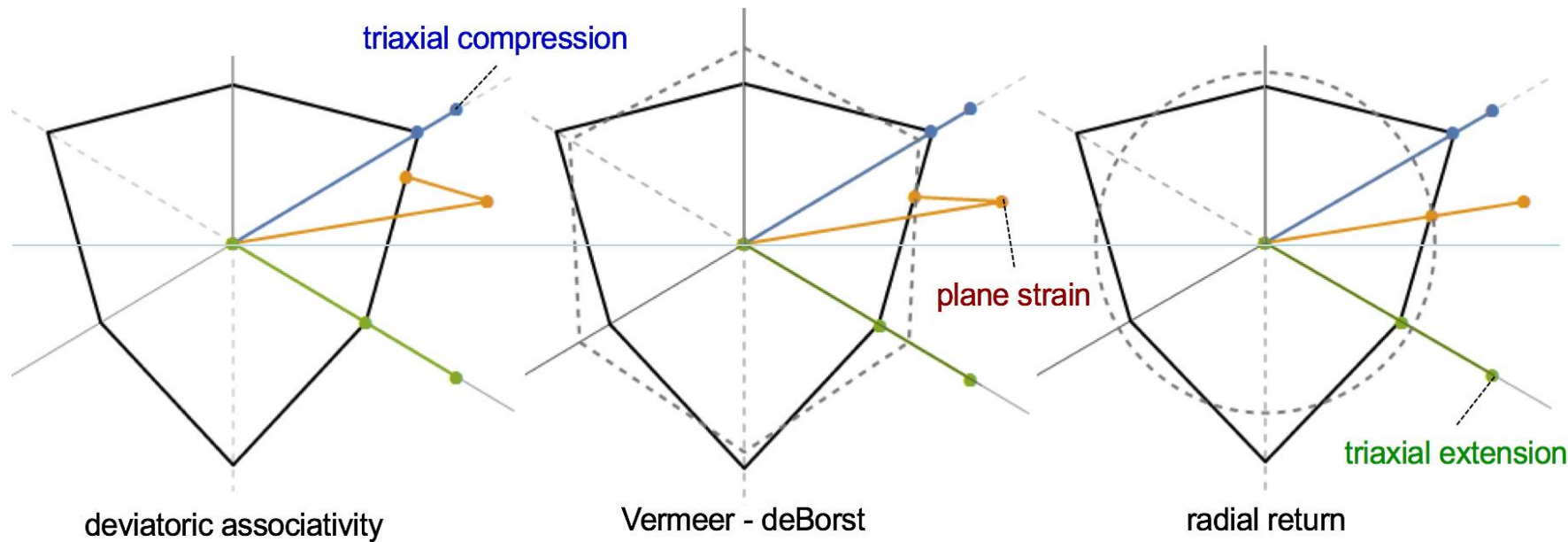
Reglas de flujo no asociativas

srk



Se implementaron tres reglas de flujo en el plano deviatorico

- DA: Asociatividad deviatorica, no asiciatividad volumétrica
- VB: Vermeer-deBorst (no asociativo completo)
- RR: Retorno radial



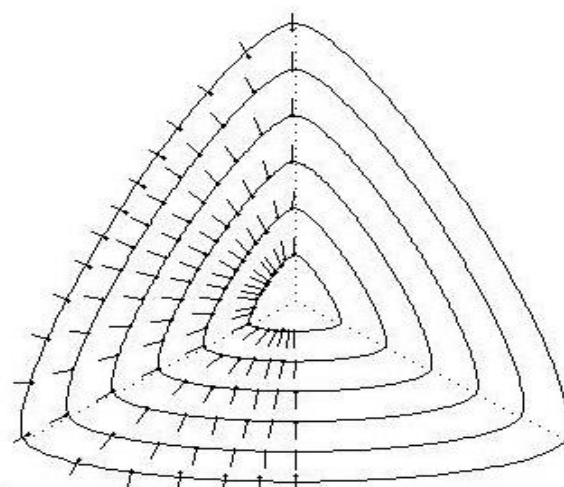
Reglas de flujo no asociativas

srk



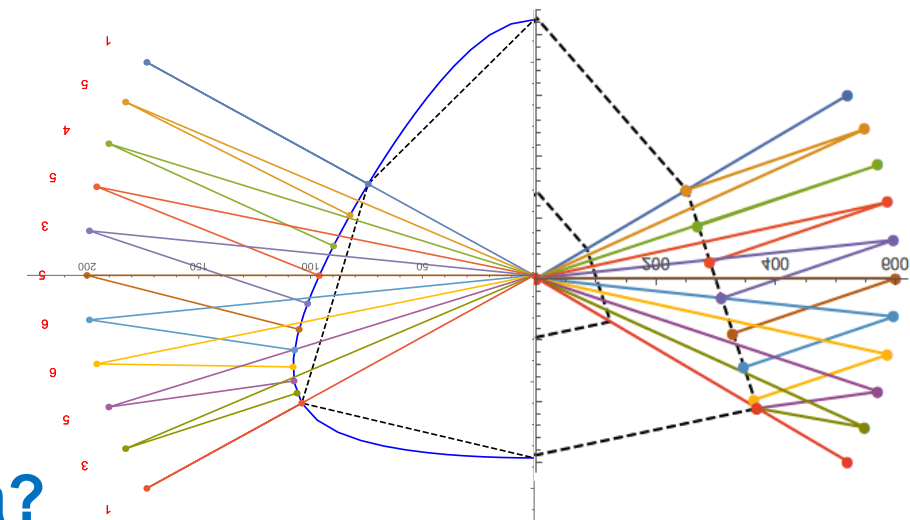
Los geomateriales no cumplen Mohr-Coulomb

- Función de fluencia curva:
¿asociatividad deviatorica?
- Para Mohr-Coulomb: **¿Vermeer-deBorst?**



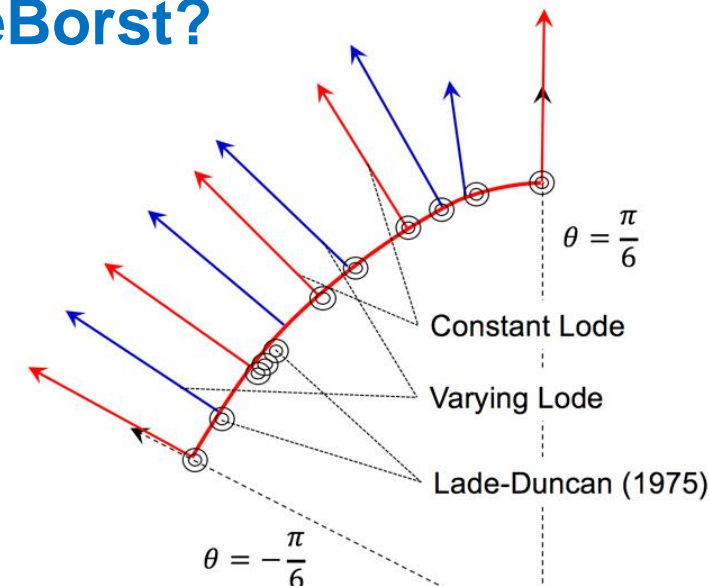
Experimental

(Lade 1973)



Numérico (DEM)

(Phusing 2016)



$$\theta = \frac{\pi}{6}$$

Constant Lode

Varying Lode

Lade-Duncan (1975)

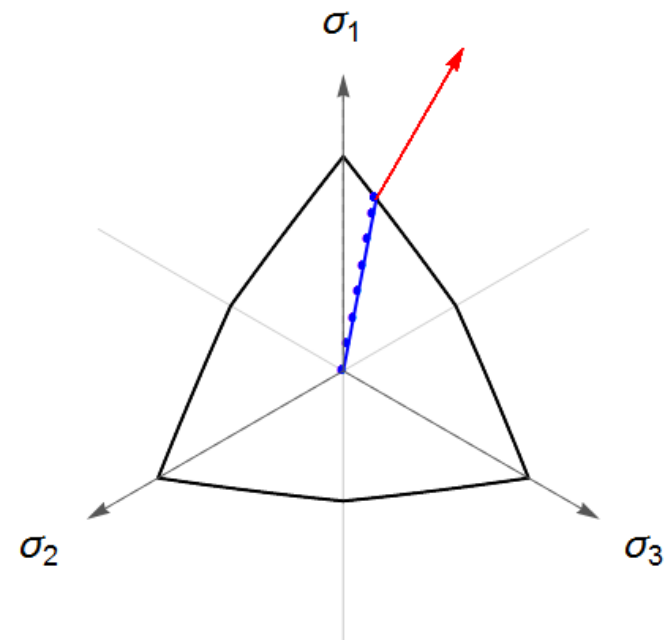
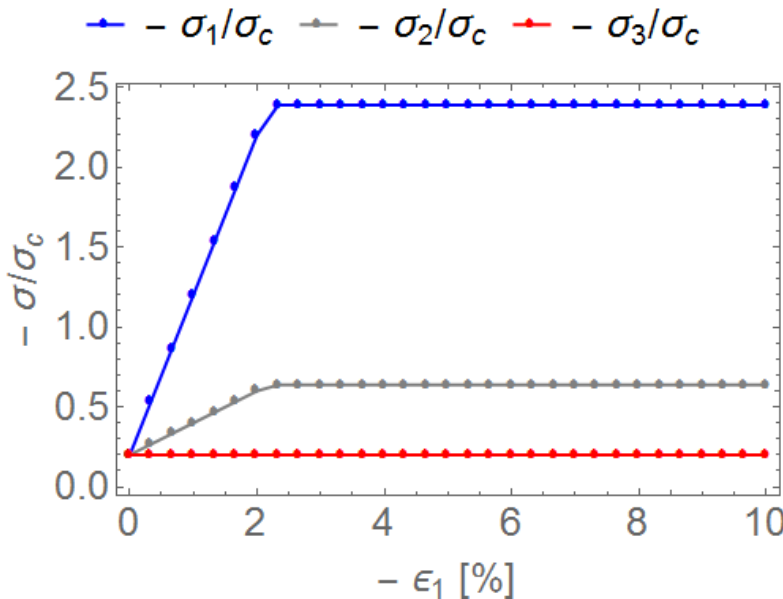
$$\theta = -\frac{\pi}{6}$$

Ensayo de compresión plana Vermeer-deBorst

srk

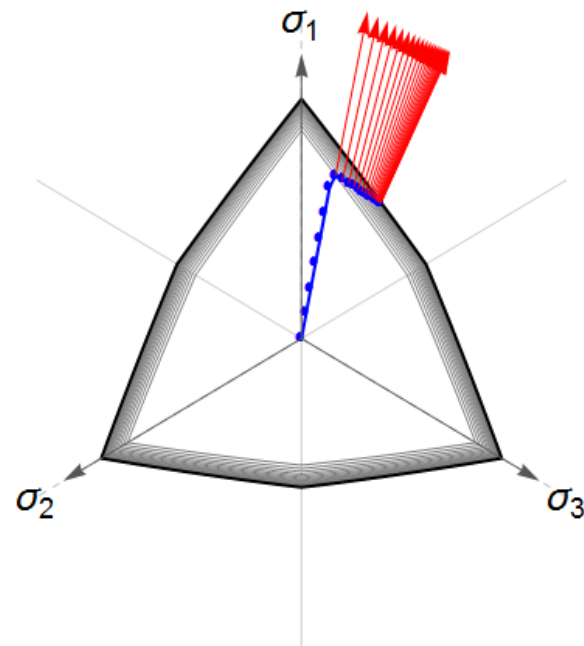
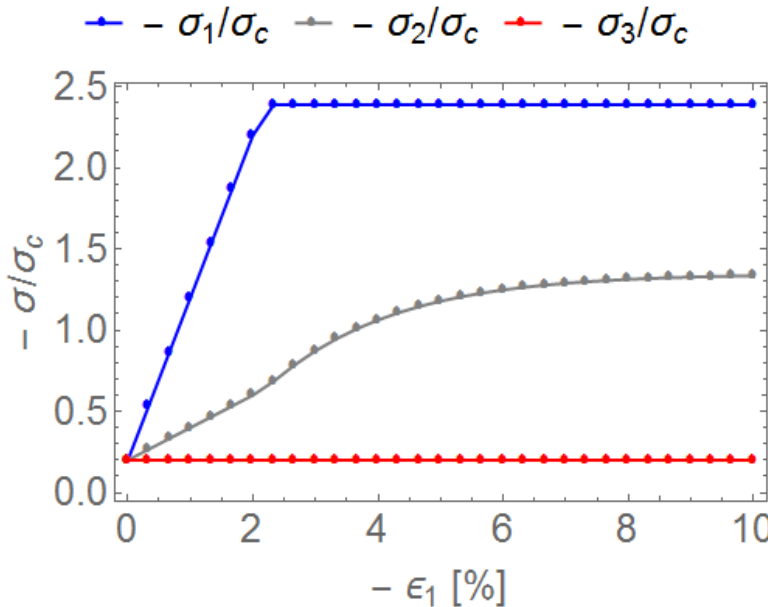


σ_2 depende solo de los parámetros elásticos del modelo



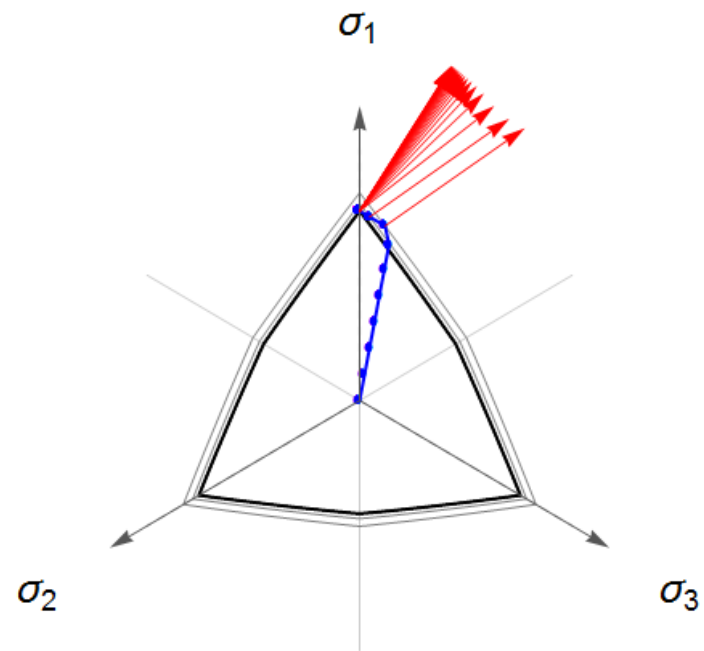
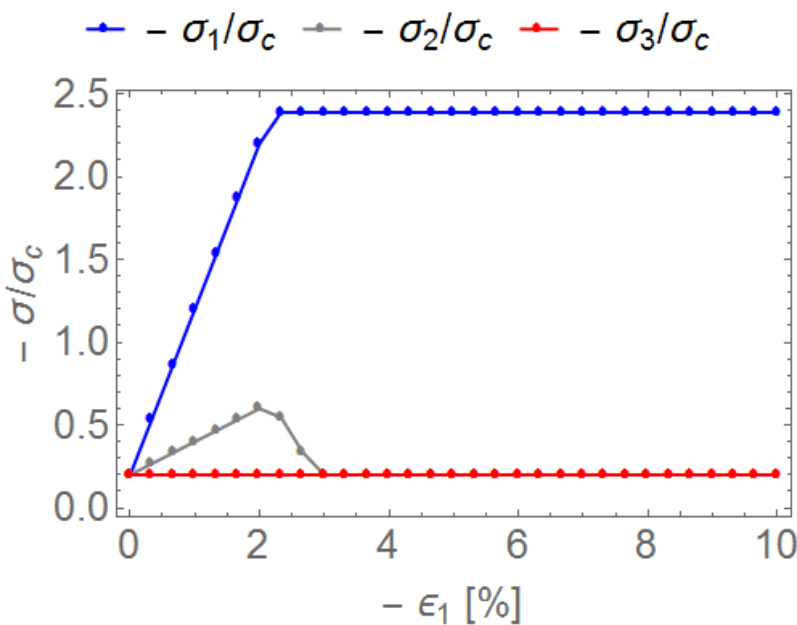
Ensayo de compresión plana Retorno radial

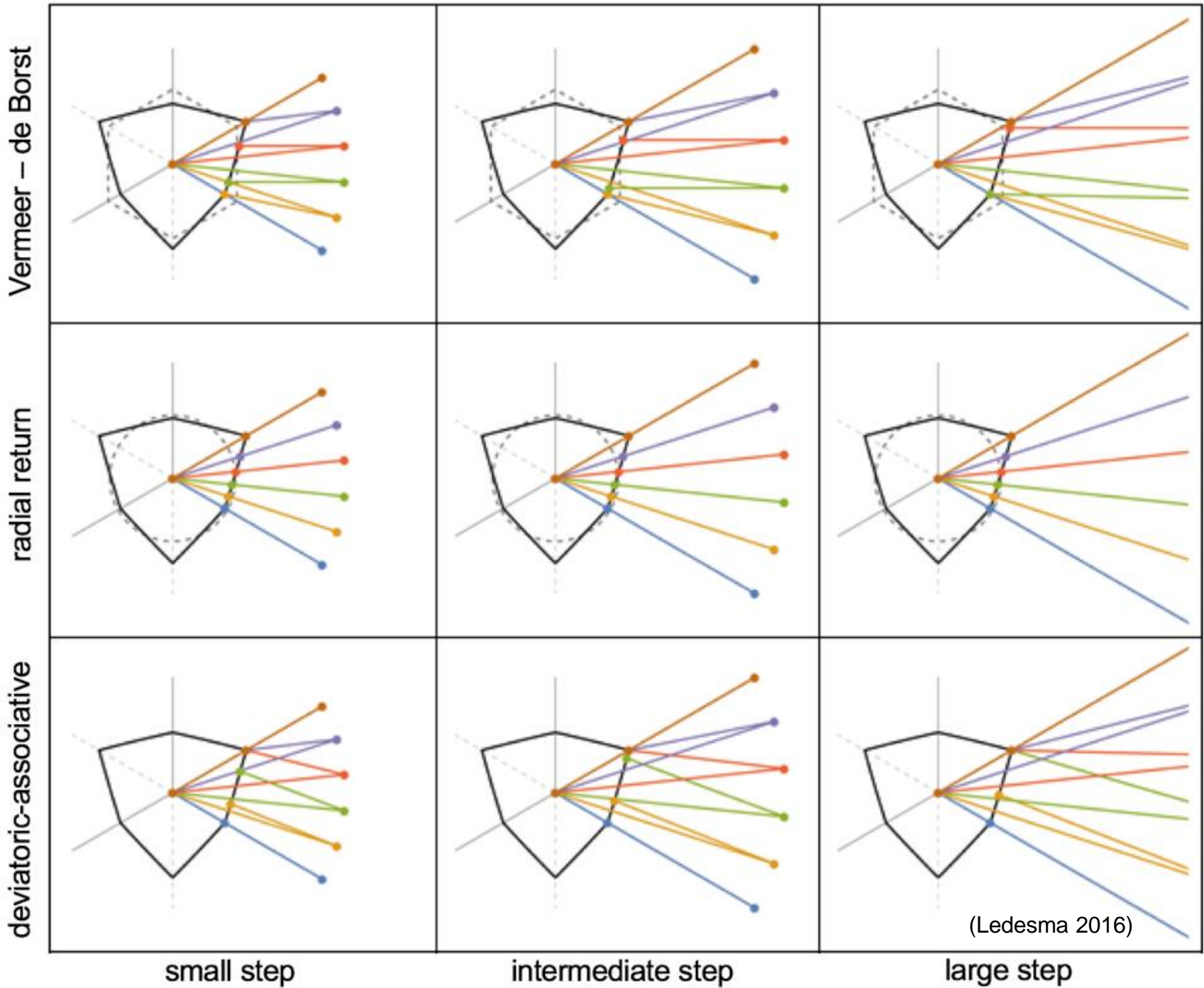
σ_2 evoluciona durante la plastificación por corte
 σ_2 alcanza un valor estacionario que depende de parámetros elásticos y plásticos del modelo



Ensayo de compresión plana Asociatividad deviatórica

σ_2 evoluciona durante la plastificación por corte
 σ_2 termina en el vértice de compresión triaxial

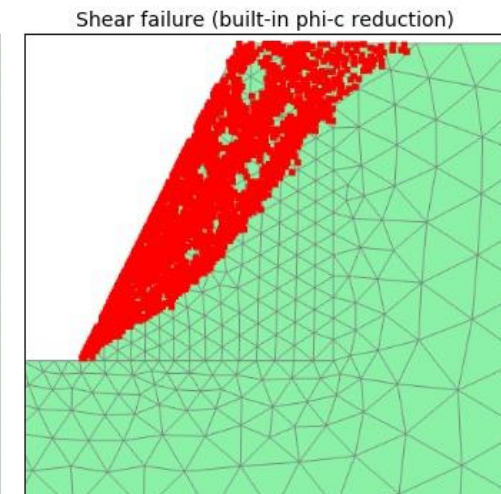
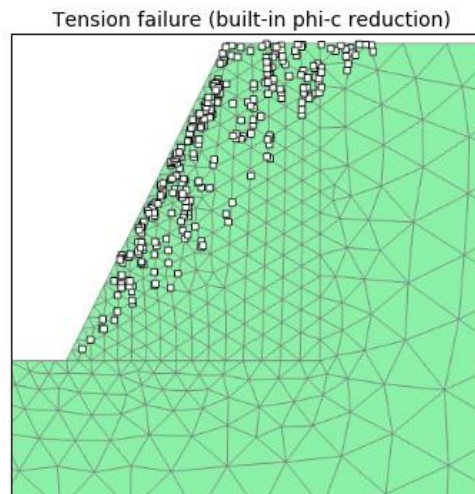
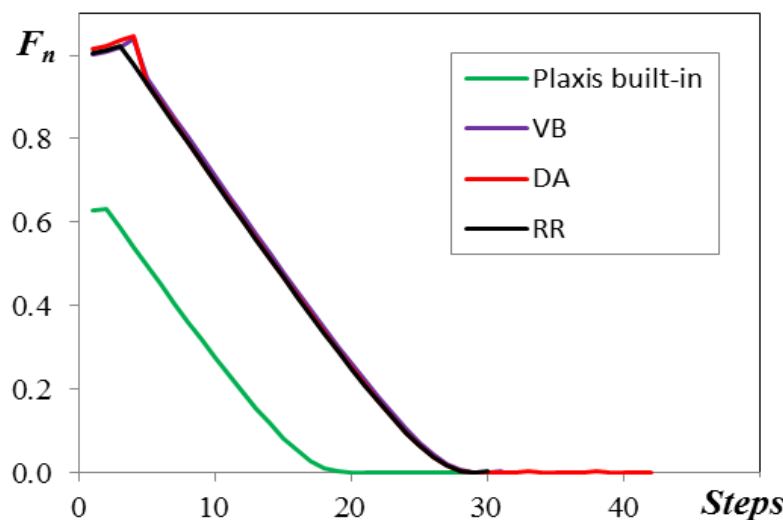




Estabilidad de talud: FoS built-in

Talud de material uniforme en Plaxis para las tres reglas de flujo

Rutina FoS built-in: $F_n \rightarrow 0$ (puntos atrapados en el vértice)

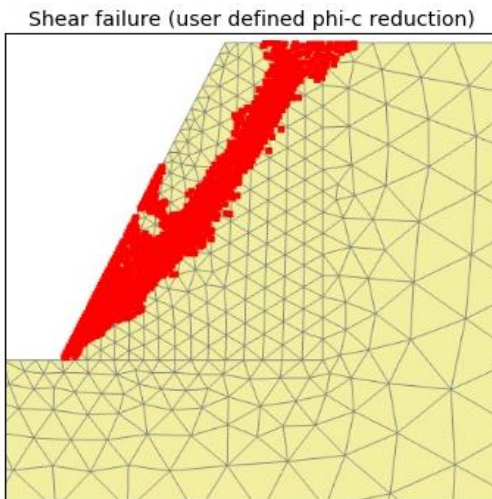
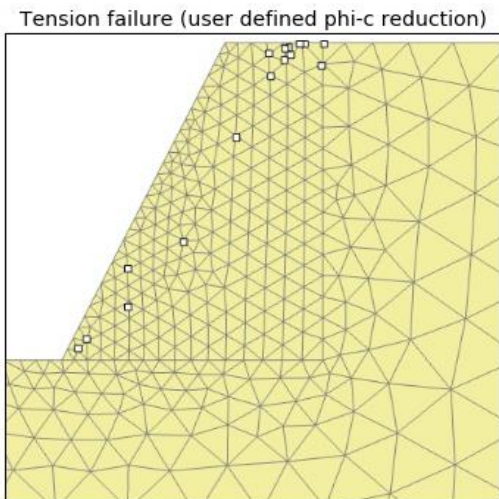


Estabilidad de talud: FoS monotónico

Talud de material uniforme en Plaxis para las tres reglas de flujo

Rutina FoS built-in: $F_n \rightarrow 0$ (puntos atrapados en el vértice)

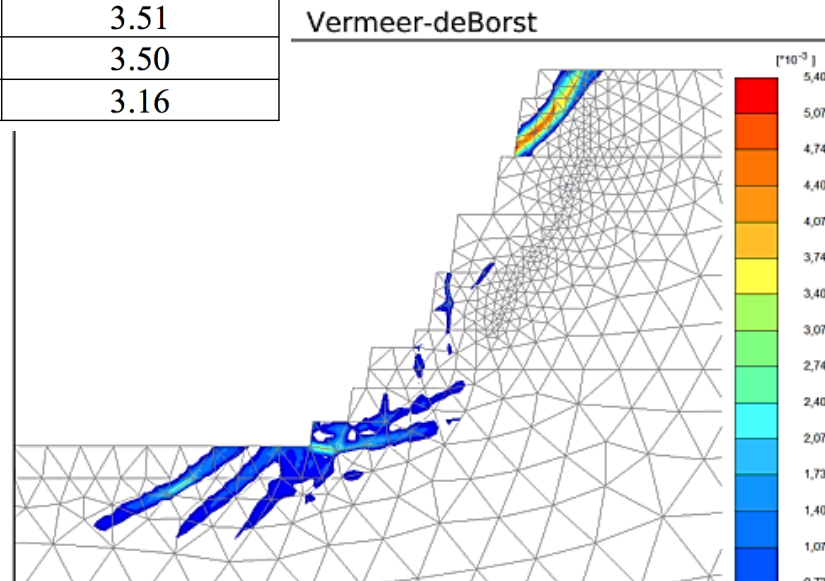
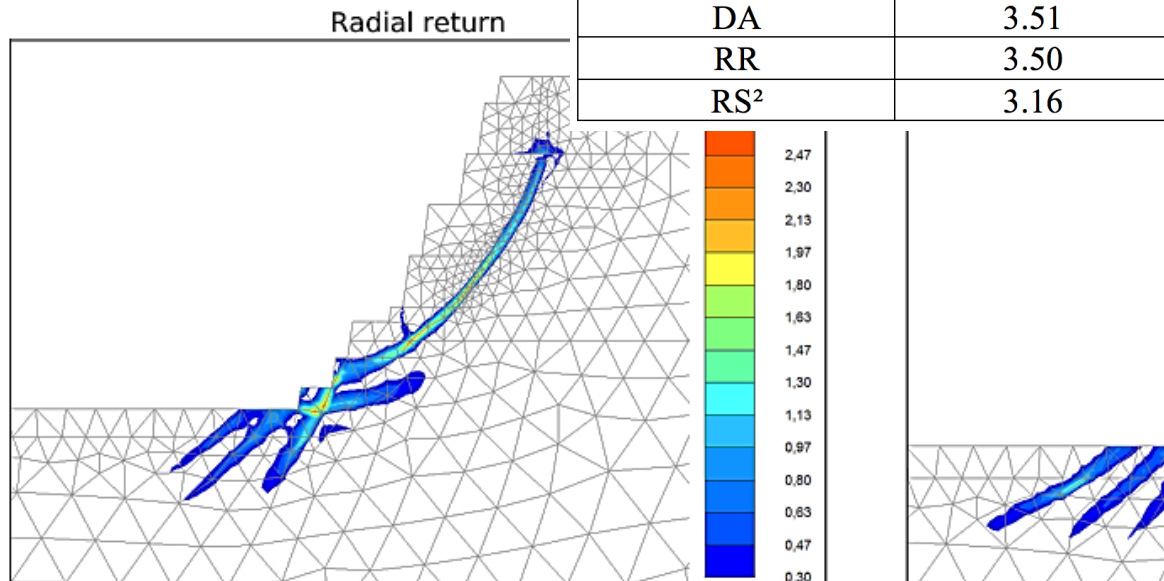
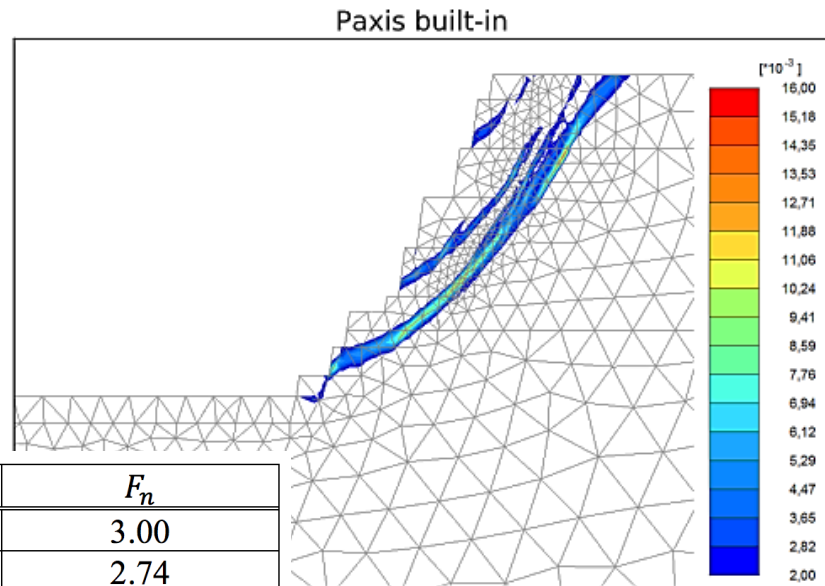
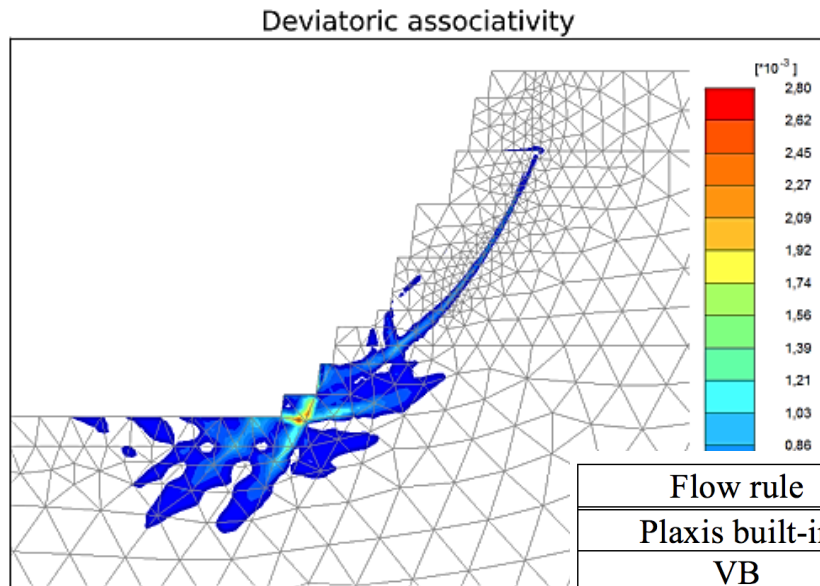
Rutina Python con FoS monotónico: resultados consistentes



Flow rule	phi-c reduction	
	Built-in	User defined
Plaxis	unstable	-
VB	unstable	1.15
DA	unstable	1.11
RR	unstable	1.11

Talud en Cerro Vanguardia

srk



Conclusiones

srk



Se reescribió Hoek-Brown como Mohr-Coulomb con $\phi[\sigma_3]$

- Se obtuvo un procedimiento de cálculo de FoS compatible con los métodos analíticos
- La implementación es más robusta que la built-in en Plaxis

Se implementaron tres reglas de flujo

- Se analizó su impacto sobre FoS para un problema de estabilidad de taludes